

02:05:11

Влияние адсорбированных диэлектрических покрытий на межфазную энергию металлических сплавов

© А.Б. Алчагиров, В.А. Созаев, Х.Б. Хоконов

Кабардино-Балкарский государственный университет,
360004 Нальчик, Россия

(Поступило в Редакцию 6 февраля 1995 г. В окончательной редакции 14 августа 1995 г.)

Введение

Влияние адсорбированных покрытий на поверхностную энергию чистых металлов изучалось в рамках метода функционала электронной плотности с учетом дискретности в распределении положительного заряда в металле в [1], где показано, что диэлектрические пленки адсорбата в ряде случаев снижают поверхностную энергию и работу выхода электрона металлов. В металлических сплавах диэлектрические покрытия могут приводить к изменению сегрегации компонентов на межфазной границе [2–4], что является дополнительным фактором изменения поверхностной энергии сплавов. При наличии поверхностного заряда на межфазной границе влияние диэлектрика на распределение компонентов в поверхностном слое может усиливаться или ослабляться в зависимости от знака и величины заряда [5]. Этот эффект в определенной степени подобен влиянию внешнего электрического поля на поверхностную сегрегацию в металлических сплавах [6, 7].

В связи с изложенным представляет интерес оценка методом функционала электронной плотности влияния тонких диэлектрических покрытий на поверхностную энергию сплавов. Насколько нам известно, в литературе подобные оценки отсутствуют.

Модель системы металлический сплав–диэлектрическая пленка

Модель бинарного сплава замещения A_xB_{1-x} выбирается аналогично описанной в работе [8], однако вместо границы металл–вакуум рассматривается граница металл–тонкая диэлектрическая пленка толщиной L (рис. 1).

Неупорядоченный сплав A_xB_{1-x} представляется средним периодическим псевдопотенциалом, форм-фактор которого имеет вид

$$w^* = xw_A^* + (1-x)w_B^*, \quad (1)$$

где w_i^* — формфактор i -го компонента, $i = (\text{A}, \text{B})$.

Средний объем $\bar{\Omega}$ сферы Вигнера–Зейца превдо-сплава задается также в приближении Вегарда.

Вследствие поверхностной сегрегации активного компонента плотность положительного заряда на поверхности сплава моделируется в виде адсорбционной

ступеньки Ланга толщиной D с поверхностной концентрацией x_s . Поэтому плотность положительного заряда задается функцией

$$n_+(z) = \begin{cases} n_0, & z < 0, \\ n_s, & 0 < z < D, \end{cases} \quad (2)$$

где n_0 — плотность положительного заряда в глубине сплава, равная средней плотности отрицательного заряда $\bar{n} = \bar{z}/\bar{\Omega}$, \bar{z} — число электронов на ячейку Вигнера–Зейца псевдосплава, n_s — средняя плотность положительного заряда в адсорбционном слое толщиной D .

Для сплавов, образованных одновалентными компонентами,

$$n_s = [x_s \Omega_A + (1-x_s) \Omega_B]^{-1}, \quad (3)$$

где x_s — концентрация компонента А в адсорбционном слое, Ω_i — объем сферы Вигнера–Зейца i -го компонента.

Истинная концентрация x_s находится путем минимизации поверхностной энергии псевдосплава.

Распределение плотности электронного заряда $n(z)$ задается двухпараметрической пробной функцией, учитывающей асимметрию в распределении $n(z)$ на межфазной границе,

$$n(z) = \bar{n} \left[1 - \frac{\beta}{\alpha + \beta} \exp(\alpha(z - z_g)) \right] \chi(z_g - z) + \bar{n} \frac{\alpha}{\alpha + \beta} \exp(\beta(z_g - z)) \chi(z - z_g), \quad (4)$$

где $\chi(z)$ — функция Хевисайда, \bar{n} — средняя плотность относительного заряда, α и β — вариационные параметры, z_g — координата Гиббса.

Распределение потенциала $\varphi(z)$ на межфазной границе находится из уравнения Пуассона с учетом граничных условий $\varphi(\infty) = 0$, $\varphi'(\pm\infty) = 0$ и условий непрерывности $\varphi(z)$ и $\varphi'(z)$ на границах раздела фаз.

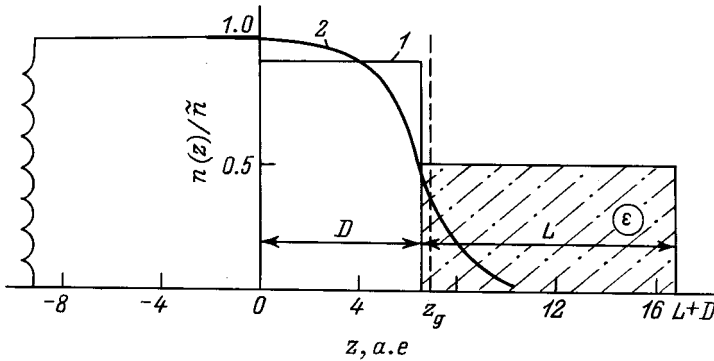


Рис. 1. Распределение ионного (1) и электронного (2) зарядов на межфазной границе раздела бинарного сплава Na_{0.5}K_{0.5} с диэлектрической пленкой воды толщиной L . $D = 6.5448$ а.е., $z_g = 6.5612$ а.е., $L = 10$ а.е., $\Theta = 0.5$, $\sigma_1 = 0.001$ а.е.

Для $z_g > D$

$$\varphi(z) = \begin{cases} \frac{4\pi n_0}{\alpha^2} \frac{\beta}{\alpha + \beta} e^{\alpha(z-z_g)} + C_1, & z < 0, \\ \frac{4\pi n_0}{\alpha^2} \frac{\beta}{\alpha + \beta} e^{\alpha(z-z_g)} - 2\pi(n_0 - n_s)z^2 + C_2, \\ 0 < z < D, \\ \frac{4\pi n_0}{\varepsilon\alpha^2} \frac{\beta}{\alpha + \beta} e^{\alpha(z-z_g)} - \frac{2\pi n_0}{\varepsilon} z^2 \\ + \frac{4\pi}{\varepsilon} [n_s D + \sigma_1] z + C_3, & D < z < z_g, \\ -\frac{4\pi n_0}{\varepsilon\beta^2} \frac{\alpha}{\alpha + \beta} e^{-\beta(z-z_g)} + \frac{4\pi\sigma_2}{\varepsilon} z + C_4, \\ z_g < z < L + D, \\ -\frac{4\pi n_0}{\beta^2} \frac{\alpha}{\alpha + \beta} e^{-\beta(z-z_g)}, & \infty > z > L + D, \end{cases} \quad (5)$$

где

$$C_1 = C_2 = -\frac{4\pi n_0}{\alpha^2} \frac{\beta}{\alpha + \beta} e^{\alpha(D-z_g)} \left(1 - \frac{1}{\varepsilon}\right)$$

$$- 2\pi(n_0 - n_s)D^2 - \frac{2\pi n_0}{\varepsilon} D^2$$

$$+ \frac{4\pi}{\varepsilon} (n_s D + \sigma_1) D + C_3,$$

$$C_3 = -\frac{4\pi n_0}{\varepsilon(\alpha + \beta)} \left(\frac{\alpha}{\beta^2} + \frac{\beta}{\alpha^2} \right) + \frac{2\pi n_0}{\varepsilon} z_g^2$$

$$- \frac{4\pi}{\varepsilon} (n_s D + \sigma_1) z_g + \frac{2\pi\sigma_2}{\varepsilon} z_g + C_4,$$

$$C_4 = -\frac{4\pi n_0}{\varepsilon\beta^2} \frac{\alpha}{\alpha + \beta} e^{-\beta(L+D-z_g)} \left(1 - \frac{1}{\varepsilon}\right)$$

$$- \frac{4\pi\sigma_2}{\varepsilon} (L + D).$$

Для $z_g < D$

$$\varphi(z) = \begin{cases} \frac{4\pi n_0}{\alpha^2} \frac{\beta}{\alpha + \beta} e^{\alpha(z-z_g)} + C_1, & z < 0, \\ \frac{4\pi n_0}{\alpha^2} \frac{\beta}{\alpha + \beta} e^{\alpha(z-z_g)} - 2\pi(n_0 - n_s)z^2 + C_2, \\ 0 < z < z_g, \\ -\frac{4\pi n_0}{\varepsilon\beta^2} \frac{\alpha}{\alpha + \beta} e^{-\beta(z-z_g)} + 2\pi n_s z^2 \\ - 4\pi(n_s D + \sigma_1 - \sigma_2)z + C_3, & z_g < z < D, \\ -\frac{4\pi n_0}{\varepsilon\beta^2} \frac{\alpha}{\alpha + \beta} e^{-\beta(z-z_g)} + \frac{4\pi\sigma_2}{\varepsilon} z + C_4, \\ D < z < L + D, \\ -\frac{4\pi n_0}{\beta^2} \frac{\alpha}{\alpha + \beta} e^{-\beta(z-z_g)}, & \infty > z > L + D, \end{cases} \quad (6)$$

где

$$C_1 = C_2 = -\frac{4\pi n_0}{\alpha + \beta} \left(\frac{\alpha}{\beta^2} + \frac{\beta}{\alpha^2} \right) + 2\pi n_0 z_g^2 \\ - 4\pi(n_s D + \sigma_1 - \sigma_2)z_g + C_3,$$

$$C_3 = \frac{4\pi n_0}{\varepsilon\beta^2} \frac{\alpha}{\alpha + \beta} e^{-\beta(D-z_g)} \left(1 - \frac{1}{\varepsilon}\right) + 2\pi n_s D^2 \\ + 4\pi\sigma_1 D - 4\pi\sigma_2 D \left(1 - \frac{1}{\varepsilon}\right) + C_4,$$

$$C_4 = -\frac{4\pi n_0}{\beta^2} \frac{\alpha}{\alpha + \beta} e^{-\beta(L+D-z_g)} \left(1 - \frac{1}{\varepsilon}\right) - \frac{4\pi\sigma_2}{\varepsilon} (L + D).$$

Гиббсова координата z_g находится из условия сохранения заряда с учетом плотностей зарядов на границах металл–диэлектрик σ_1 и диэлектрик–вакуум σ_2

$$z_g = \frac{1}{\alpha} - \frac{1}{\beta} + \frac{n_s}{n_0} D + \frac{\sigma_1}{n_0} - \frac{\sigma_2}{n_0}. \quad (7)$$

Вычисление межфазной энергии в рамках модели желе с учетом (3)–(7) и поправками на дискретность положительного заряда проводится по формуле

$$\gamma = \gamma_j + \delta\gamma_{ps} + \delta\gamma_m. \quad (8)$$

Здесь γ_j — желе-вклад, обусловленный однородным распределением ионного заряда

$$\gamma_j = \int_{-\infty}^{\infty} dz [w(n(z)) - w(n_+(z))], \quad (9)$$

где w — объемная плотность энергии электронного газа

$$w[n(z)] = \varphi(z)n(z) + 0.3(3\pi^2)^{2/3}n^{5/3}(z) + \frac{|\nabla n(z)|^2}{72n(z)} - 0.75(3/\pi)^{1/3}n^{4/3}(z) + \frac{0.056n^{4/3}(z)}{0.079 + n^{1/3}(z)} + C_{xc}(r_s) \frac{|\nabla n(z)|^2}{n^{4/3}(z)},$$

$$C_{xc} = (2.702 - 0.174r_s)10^{-3}, \quad r_s = \left(\frac{4}{3}\pi\bar{n}\right)^{-1/3}. \quad (10)$$

Она включает в себя электростатическую энергию взаимодействия электронного газа, взаимодействия электронного газа с зарядом желе, кинетическую энергию с поправкой на неоднородность поля Вейцекка-Киржиница, энергию обменно-корреляционного взаимодействия в приближении локальной плотности с учетом поправки на нелокальность к обменному взаимодействию, взятой в приближении Гелдтарта-Резолта. В (8) $\delta\gamma_{ps}$ — вклад в поверхностную энергию от электрон-ионных взаимодействий, учитывающий дискретность структуры сплава в направлении оси z , перпендикулярной поверхности сплава. При вычислении $\delta\gamma_{ps}$ использовался модельный псевдопотенциал Ашкрофта [5]. Третье слагаемое в (8) — маделунговская составляющая, связанная с поправкой к поверхностной энергии на отличие энергии электростатического взаимодействия желе-желе от кулоновской энергии дискретно распределенного положительного заряда в узлах кристаллической решетки. Минимизируя γ по параметрам α , β и поверхностной концентрации x_s , находим поверхностную энергию сплава на границе с диэлектрической пленкой.

Результаты вычислений

Результаты вычислений представлены на рис. 2 в виде зависимостей $\Delta\gamma = \gamma - \gamma_0$ (где γ_0 — поверхностная энергия границы без покрытия, γ — то же с покрытием) от степени покрытия Θ для сплава натрий-калий эквиатомного состава, покрытого тонким слоем паров воды толщиной $L = 10$ а.е. соответственно. Кривая 2 соответствует незаряженной межфазной границе. Во всех случаях наблюдается понижение поверхностной энергии при увеличении степени покрытия. Абсолютные значения межфазной энергии γ ,

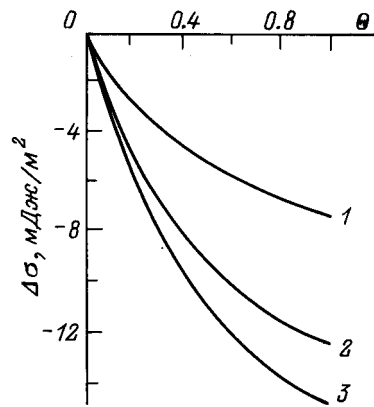


Рис. 2. Влияние степени покрытия на поверхностную энергию металлических сплавов при наличии межфазного заряда. σ_1 , а.е.: 1 — $+0.0005$, 2 — 0 , 3 — -0.0005 .

как показывают расчеты, при $\sigma_1 > 0$ меньше соответствующих значений γ для незаряженной межфазной границы, а при $\sigma_1 < 0$, наоборот, больше во всем интервале значений Θ .

Снижение поверхностной энергии при увеличении степени покрытия объясняется эффектом "вытягивания" диэлектриком из металлического сплава "хвоста" электронного распределения [9]. Увеличение избыточного отрицательного заряда вне сплава приводит к понижению поверхностной энергии. Наличие положительного межфазного заряда приводит к усилению эффекта "вытягивания" хвоста электронной плотности. В случае же отрицательного межфазного заряда картина иная: плотность электронного заряда вне сплава уменьшается и поверхностная энергия сплава увеличивается.

Список литературы

- [1] Дигилов Р.М., Созаев В.А., Хоконов Х.Б. // Поверхность. 1987. № 12. С. 138–139.
- [2] Яцимирский В.К. // Поверхность. 1986. № 8. С. 131–137.
- [3] Машаров С.И., Машарова В.А., Рыбалко А.Ф., Сафаров Д.А. // Поверхность. 1992. № 5. С. 21–23.
- [4] Rehn K.E., Hoof H.A. // Phys. Rev. Lett. 1986. Vol. 57. N 6. P. 780–781.
- [5] Дигилов Р.М., Созаев В.А. // Поверхность. 1992. № 4. С. 22–25.
- [6] Дигилов Р.М., Созаев В.А. // Поверхность. 1990. № 10. С. 138–140.
- [7] Алиев И.Н., Полуэктов П.П. // Письма в ЖТФ. 1992. Вып. 7. С. 7–8.
- [8] Дигилов Р.М., Созаев В.А. // Поверхность. 1988. № 7. С. 42–47.
- [9] Ухов В.Ф., Кобелева Р.М. Вопросы физики формообразования и фазовых превращений. Калинин, 1979. С. 34–39.